

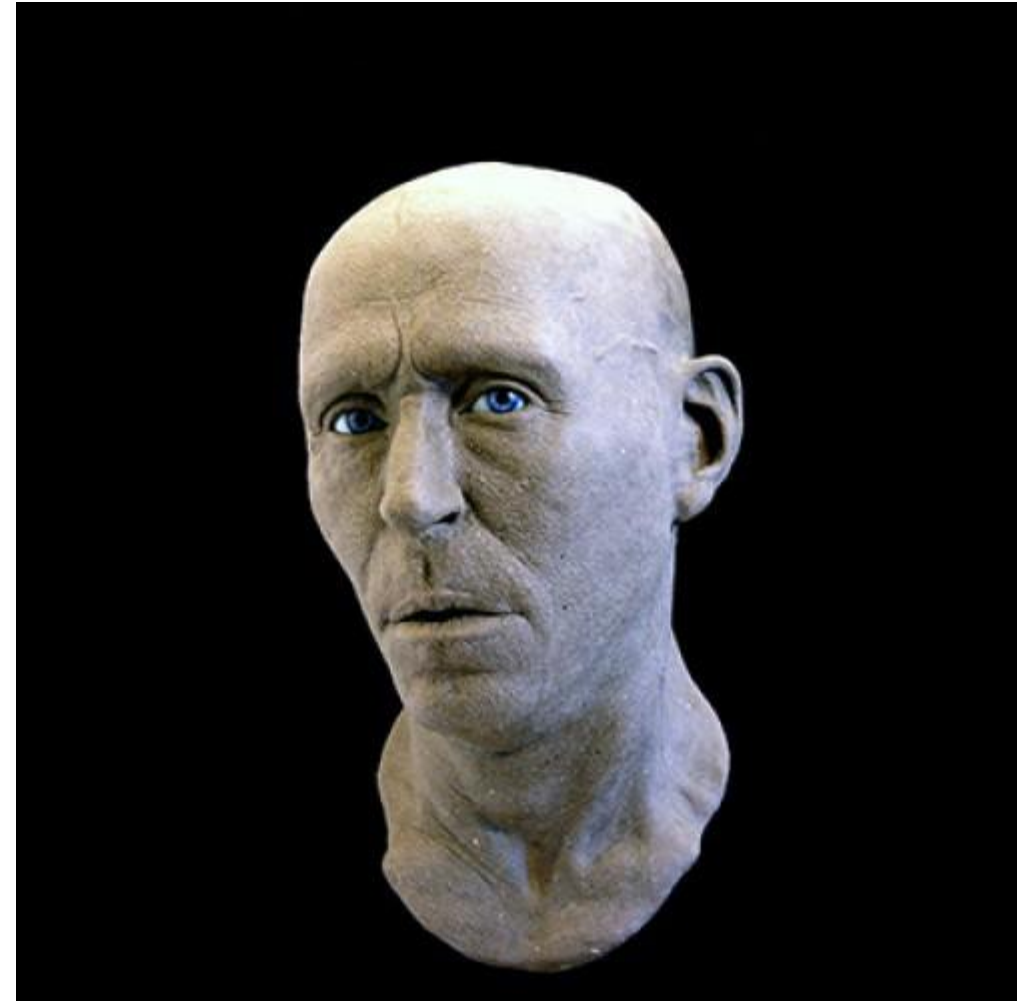
RECONSTRUCCION FACIAL

ALGO DE HISTORIA

QUE ES ?

LA RECONSTRUCCION FACIAL ES EL ARTE CIENTIFICO DE CONSTRUIR UN ROSTRO PARA PROPOSITOS DE IDENTIFICACION INDIVIDUAL

Tomado de Forensic Facial Reconstruction . Caroline Wilkinson. Cambridge



BY O. D. NILSON STOCKHOLM, SWEDEN

Historia Reconstrucción Facial

El famoso anatomista Alemán His (1895) fue uno de los primeros artistas en realizar una reconstrucción facial a partir del cráneo

Compositor Johann Sebastian Bach



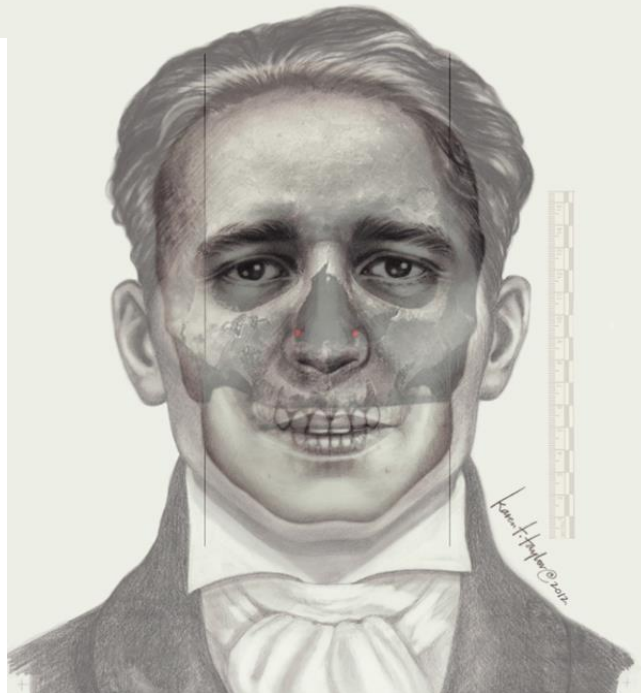
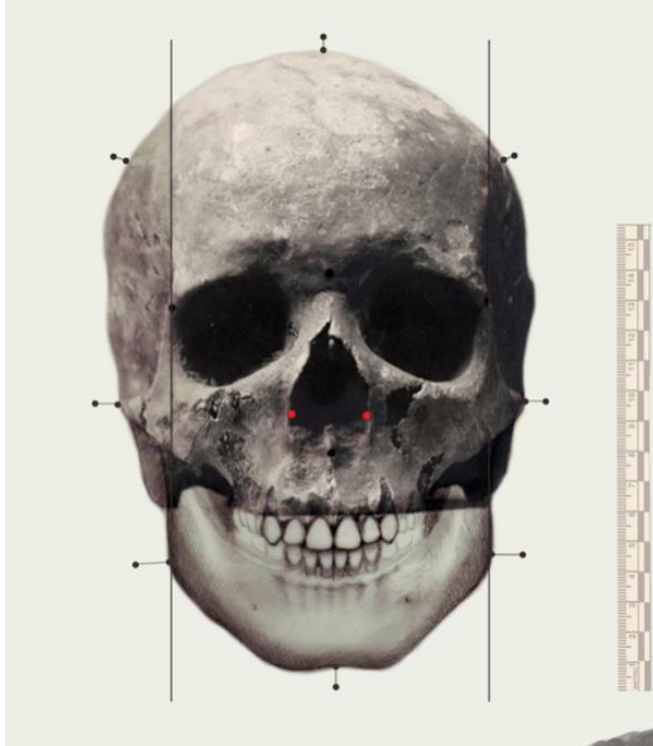
Fig. 2.5 Facial reconstruction of Johann Sebastian Bach by Wilhelm His. Bericht an den Rath der Stadt Leipzig (Leipzig, 1895).

RECONSTRUCCION FACIAL

Existen 3 técnicas para la reconstrucción facial

- La representación artística en dos dimensiones, usando una fotografía del cráneo y dibujando sobre ella





ELABORADO POR
KAREN TAYLOR E.U.

Existen 3 técnicas para la
reconstrucción facial

Técnica de dibujo sobre una foto del
cráneo

Técnica de esculpido 3D en arcilla o
plastilina

Técnica de esculpido 3D Digital

Historical Project - Julien Dubuque
National Mississippi River Museum 2012

KAREN TAYLOR Serie Forensic Files



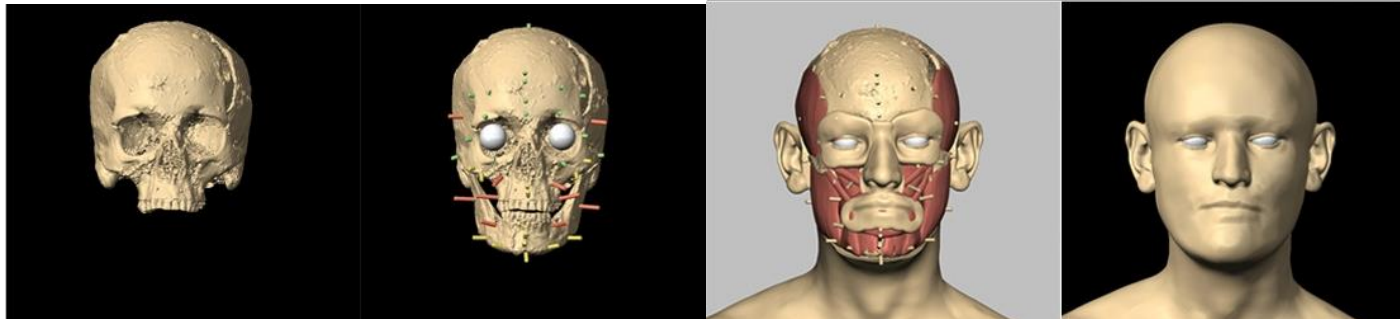
2- Técnica de reconstrucción 3D usando escultura con arcilla o plastilina



2- Técnica de reconstrucción 3D Digital



Caroline Wilkinson
Universidad de Dundee
Reino Unido
2013



DAMA DE CAO

PROCESO DE RECONSTRUCCION FACIAL Y REPLICA DEL CUERPO MOMIFICADO



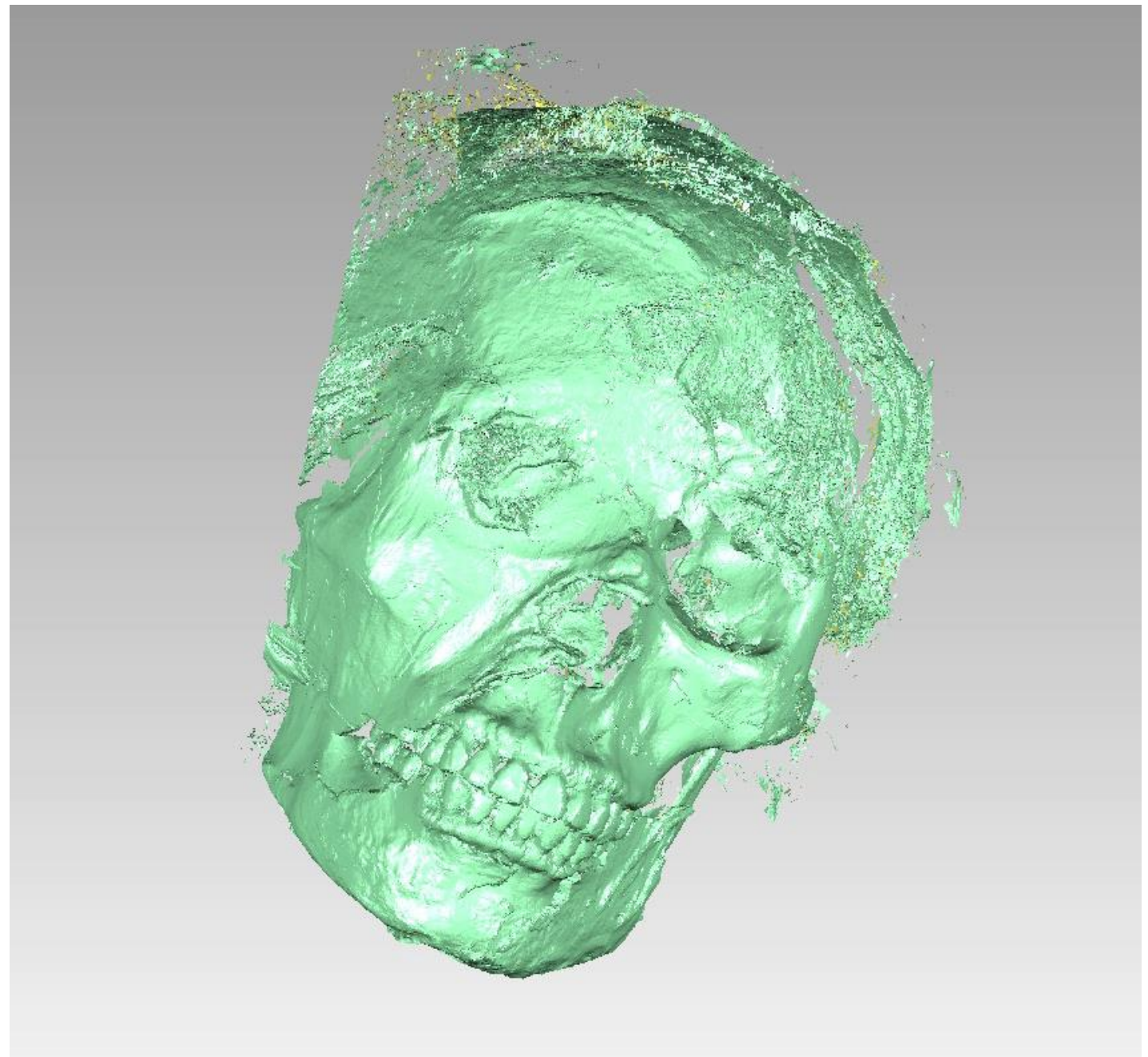
Ing. Juan Jose Soto FARO Technologies

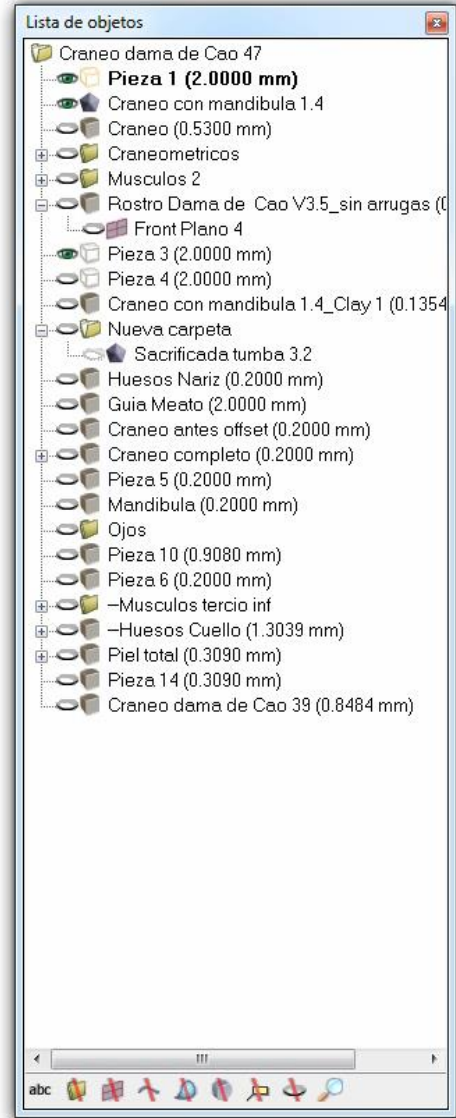
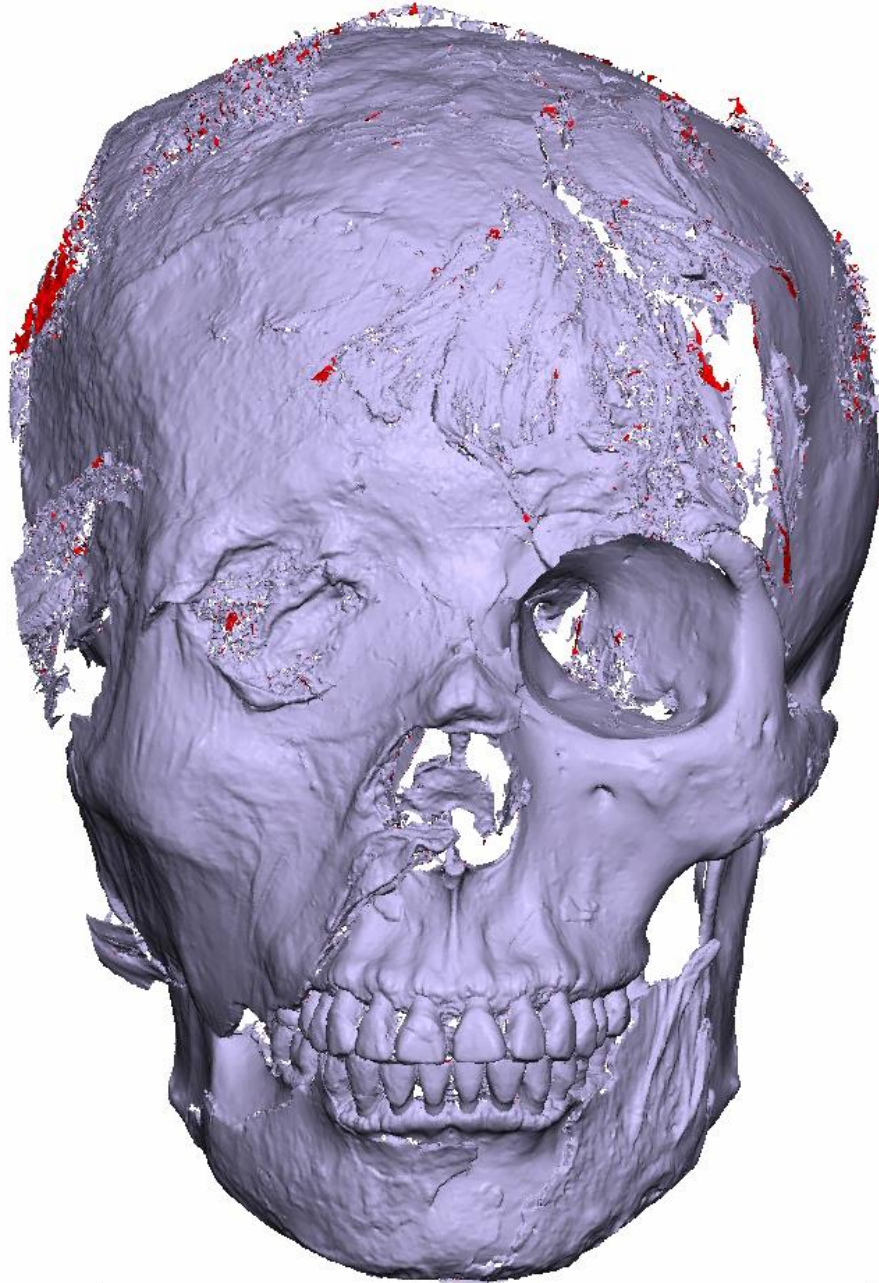


PROCESO DE RECONSTRUCCION FACIAL Y REPLICA DEL CUERPO DAMA DE CAO



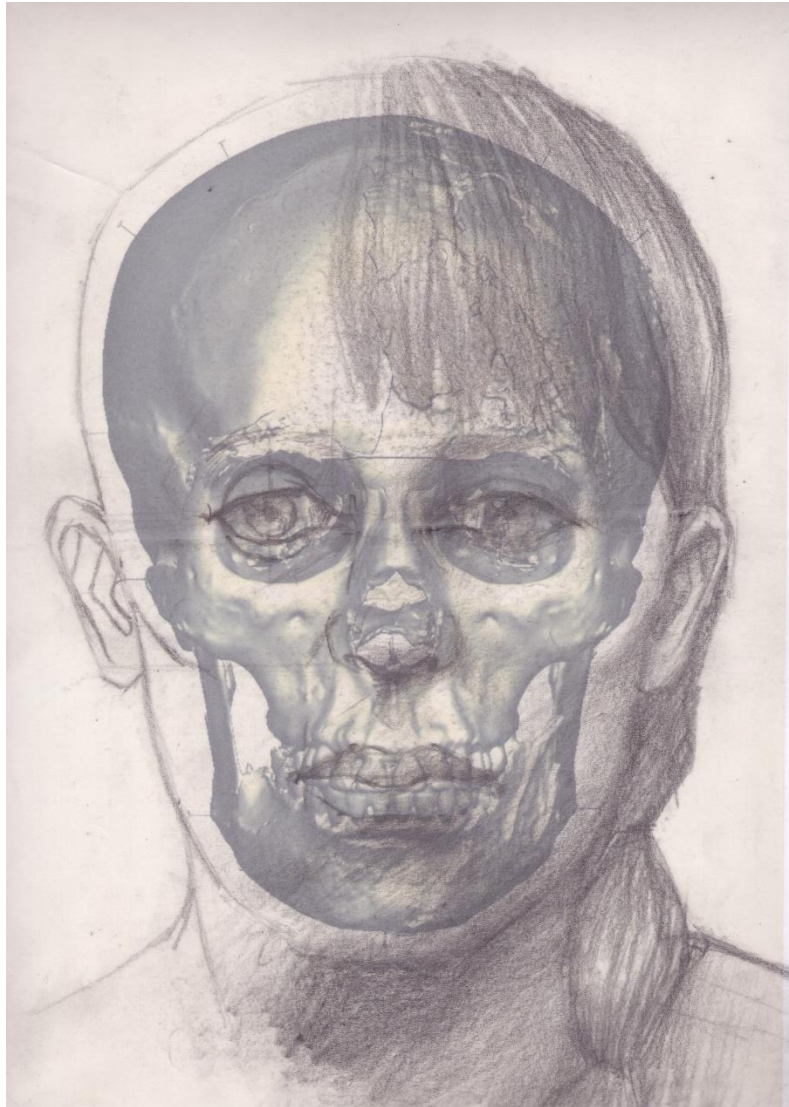




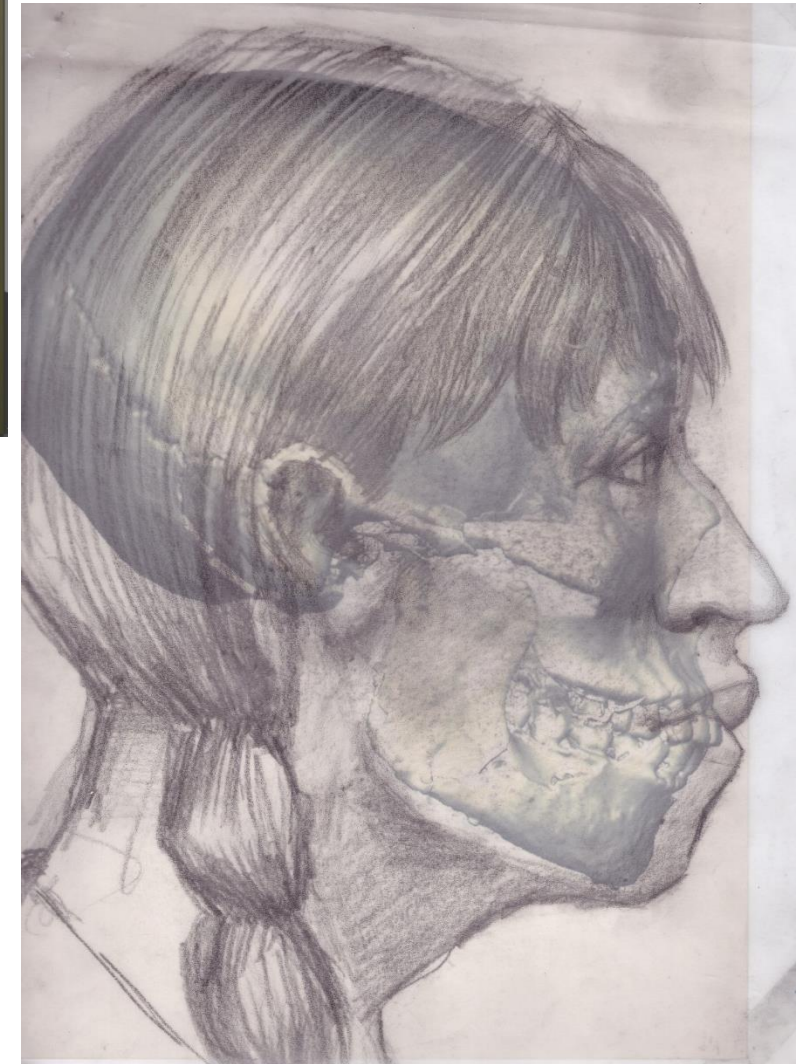


ARTISTA FORENSE ANDRES AMAYA
ESPECIALISTA EN RECONSTRUCCION FACIAL FORENSE MEDIANTE LA
TECNICA DE DIBUJO A MANO ALZADA

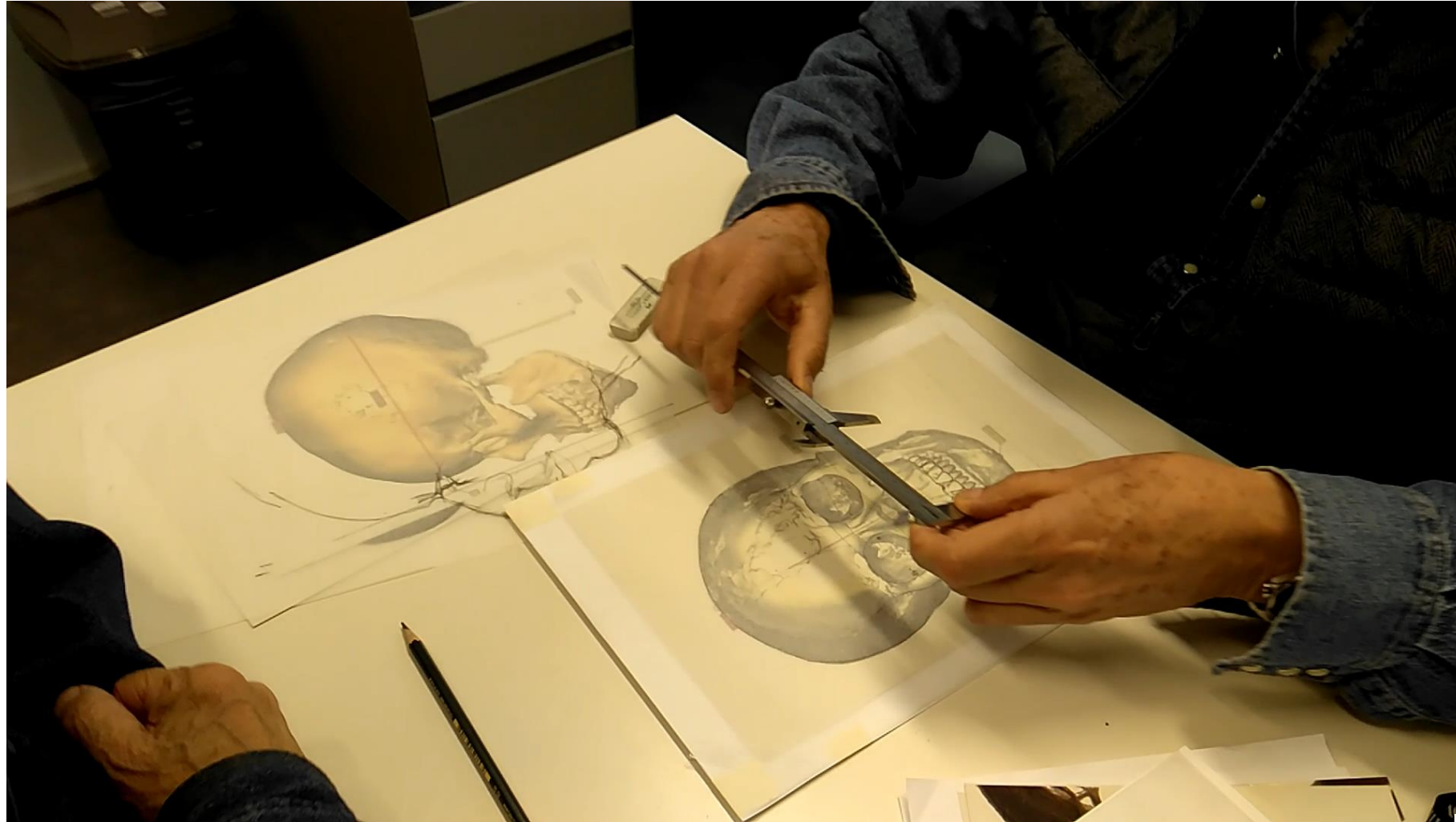




ARTISTA FORENSE ANDRES AMAYA
TECNICA DE DIBUJO CON PHOTOSHOP



ARTISTA FORENSE ANDRES AMAYA
TECNICA DE DIBUJO A MANO ALZADA



UBICACIÓN DEL CRANEO EN POSICION FRANKFORT

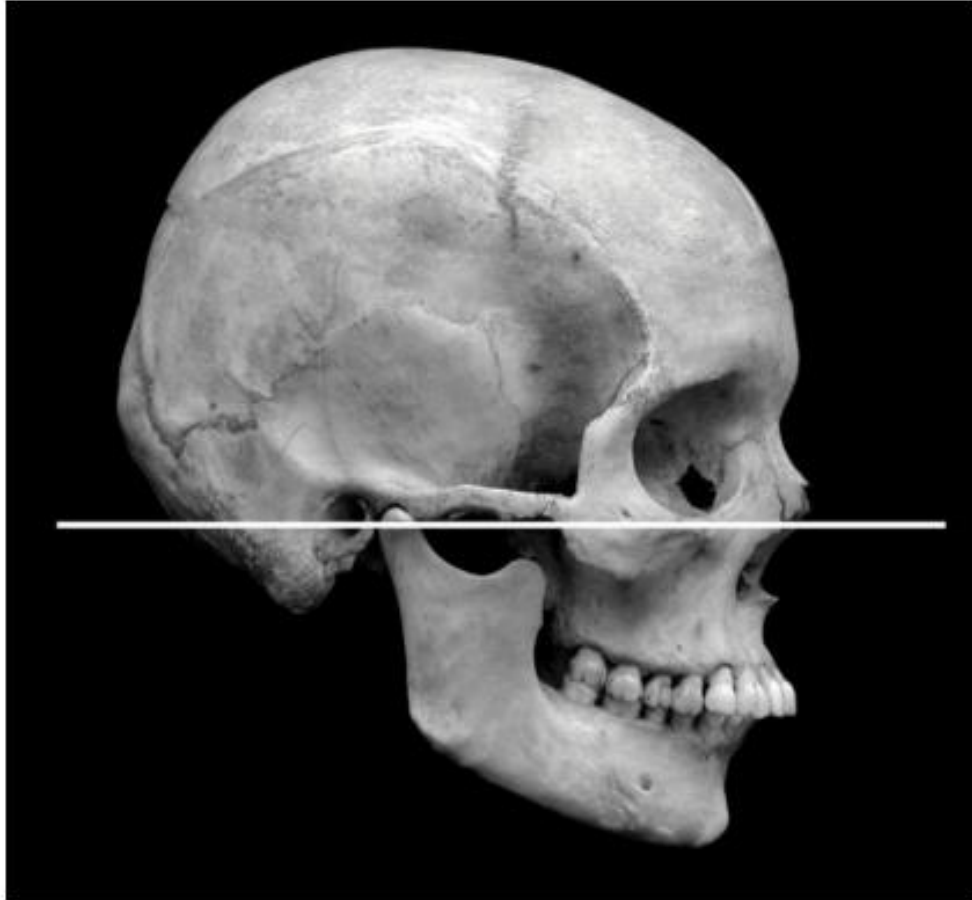
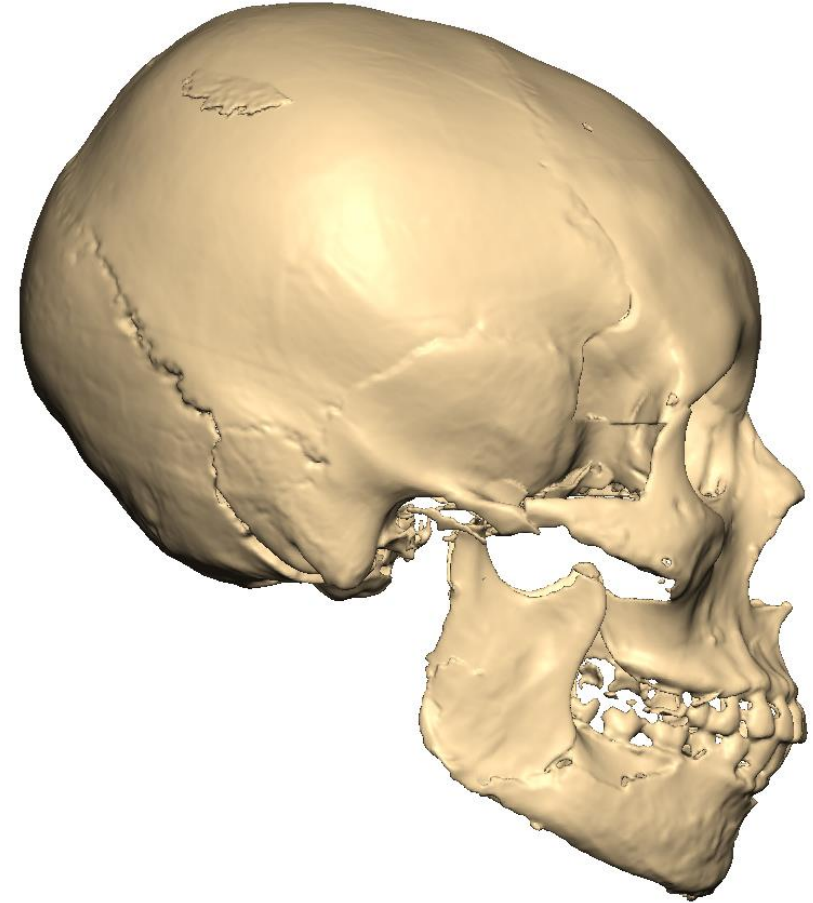


Fig. 3.1 Alignment of the Frankfurt Plane.



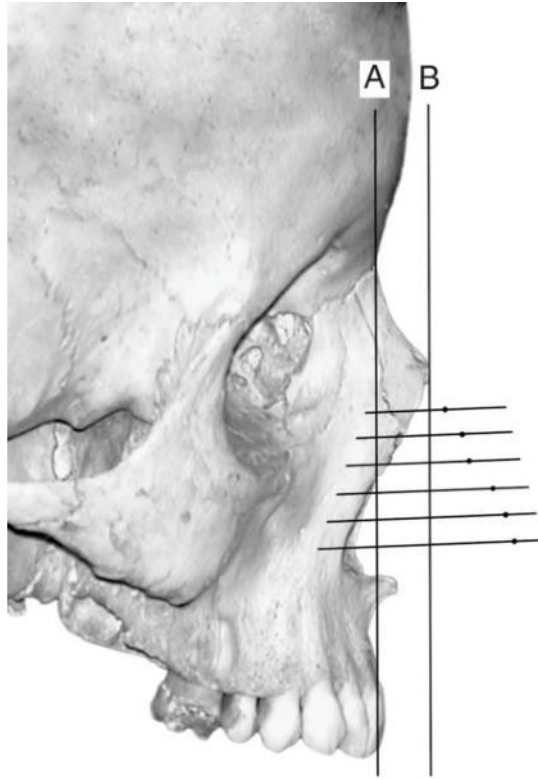
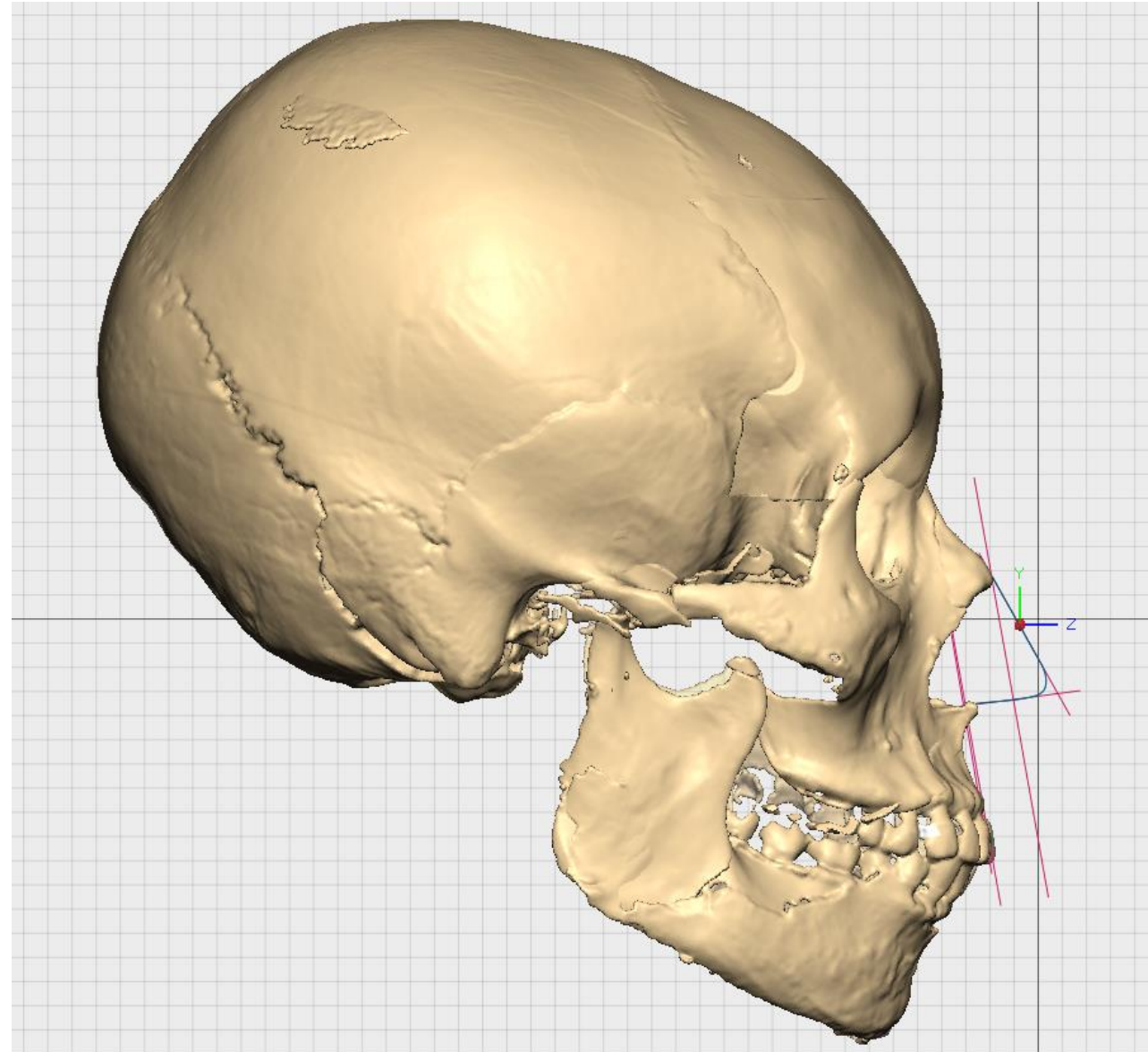


Fig. 4.11 The profile of the nose as determined by the Lebedinskaya method. Line A dissects the nasion and prothion. Line B is parallel to line A and intersects the foremost point on the nasal bone. Four to six equidistant lines were drawn perpendicular to these line between the nasal bone and the base of the piriform aperture. At each perpendicular line the distance from line B to the piriform rim was measured and the same distance added on the other side of line B. Using this



Fedosytkin and Nainys 1993

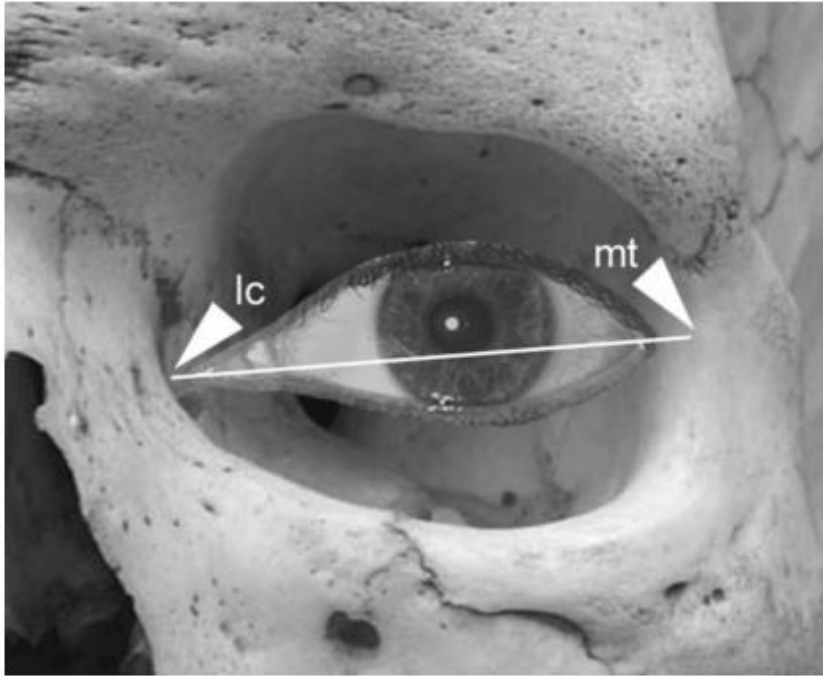
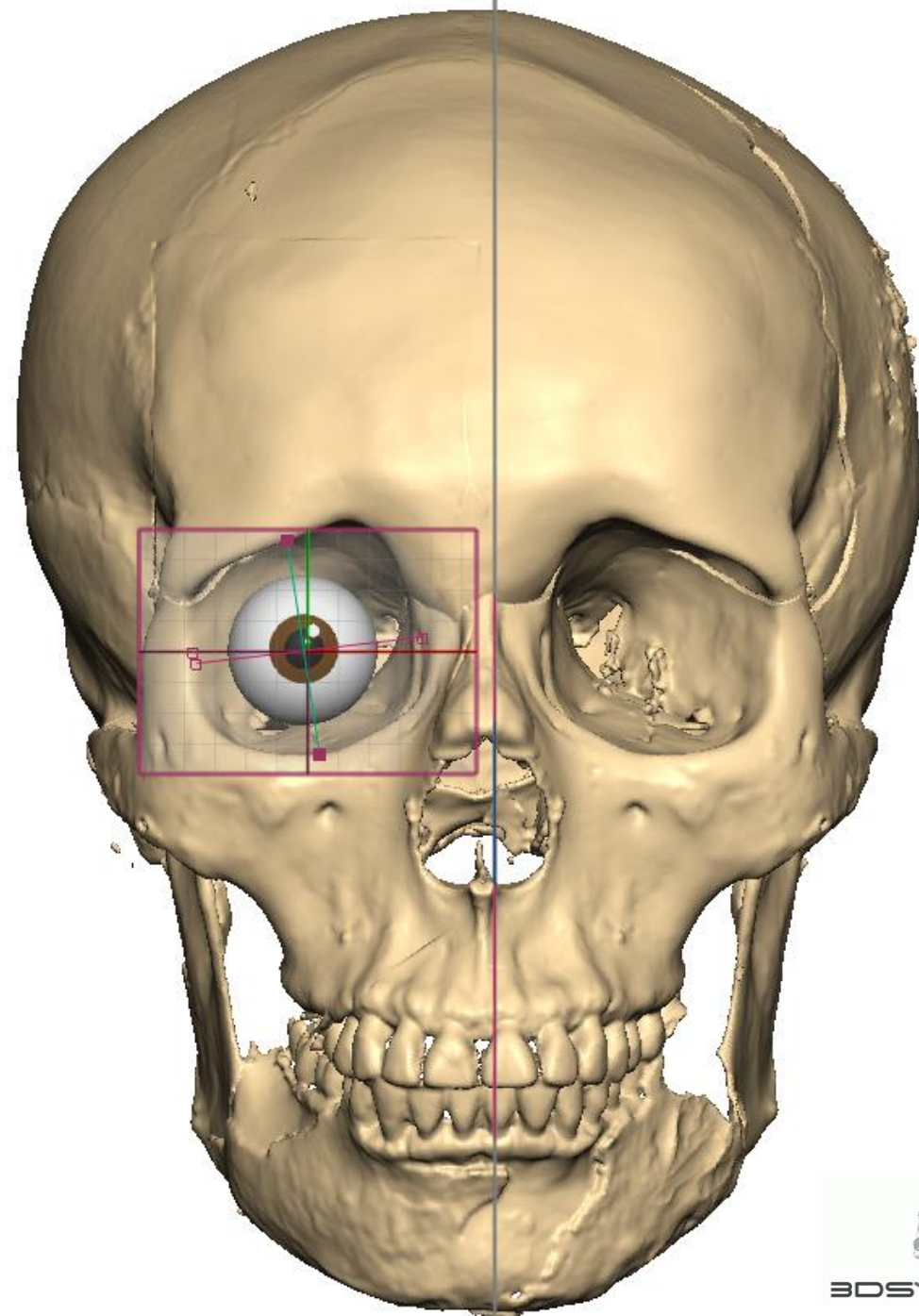


Fig. 4.12 The position of the lacrimal crest (lc) and malar tubercle (mt) at the orbit.



PROYECCION DEL OJO SOBRE EL CRANEO

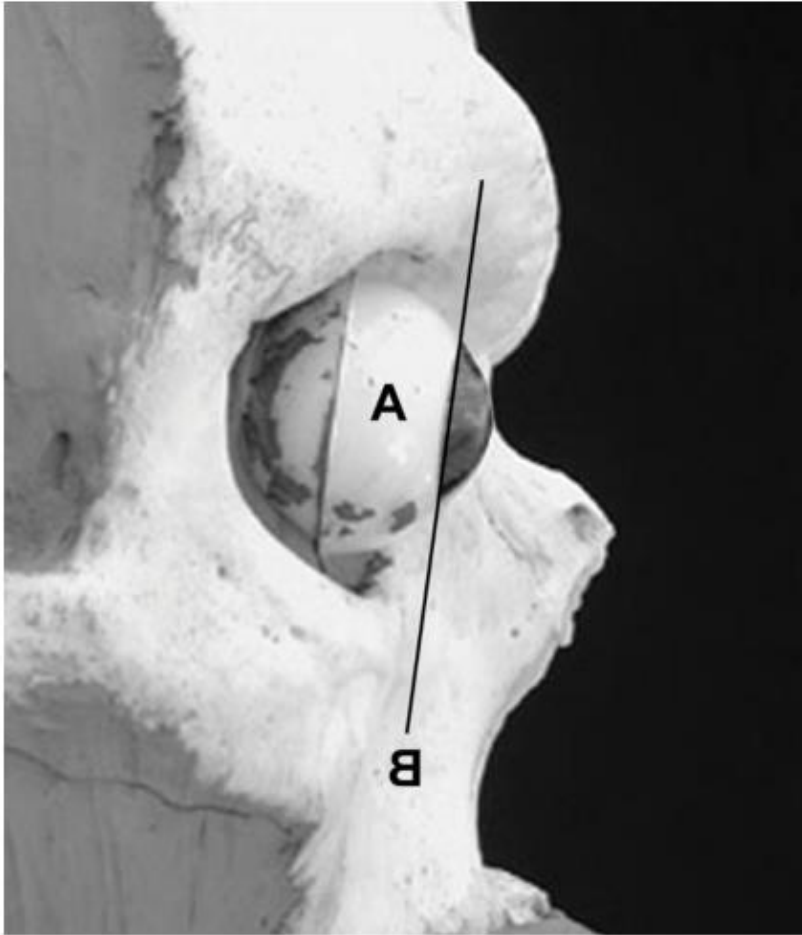
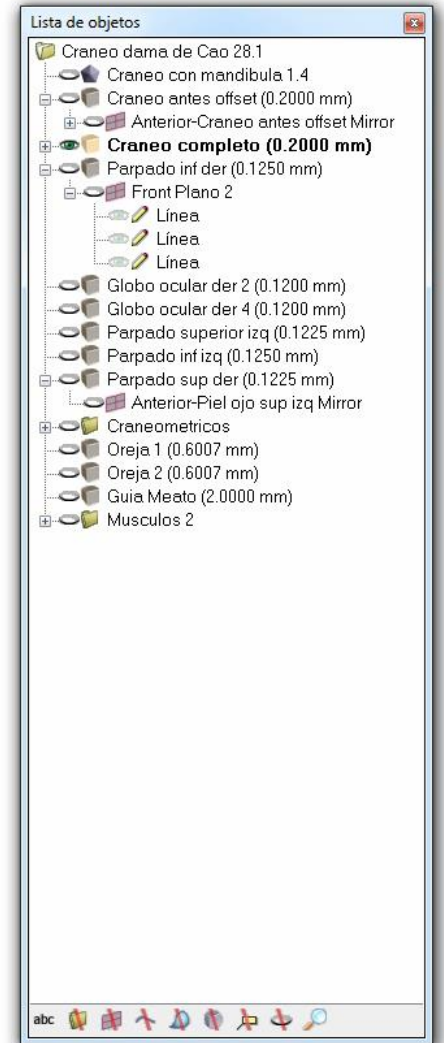
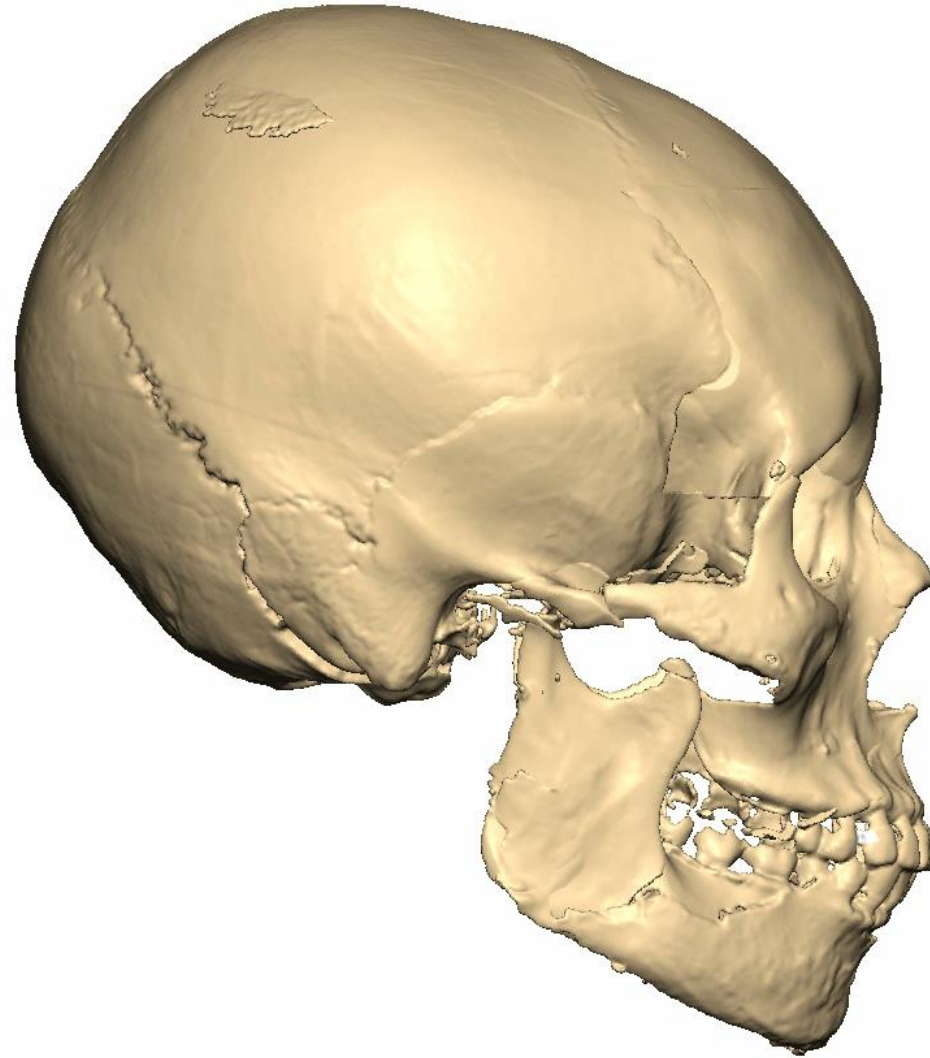
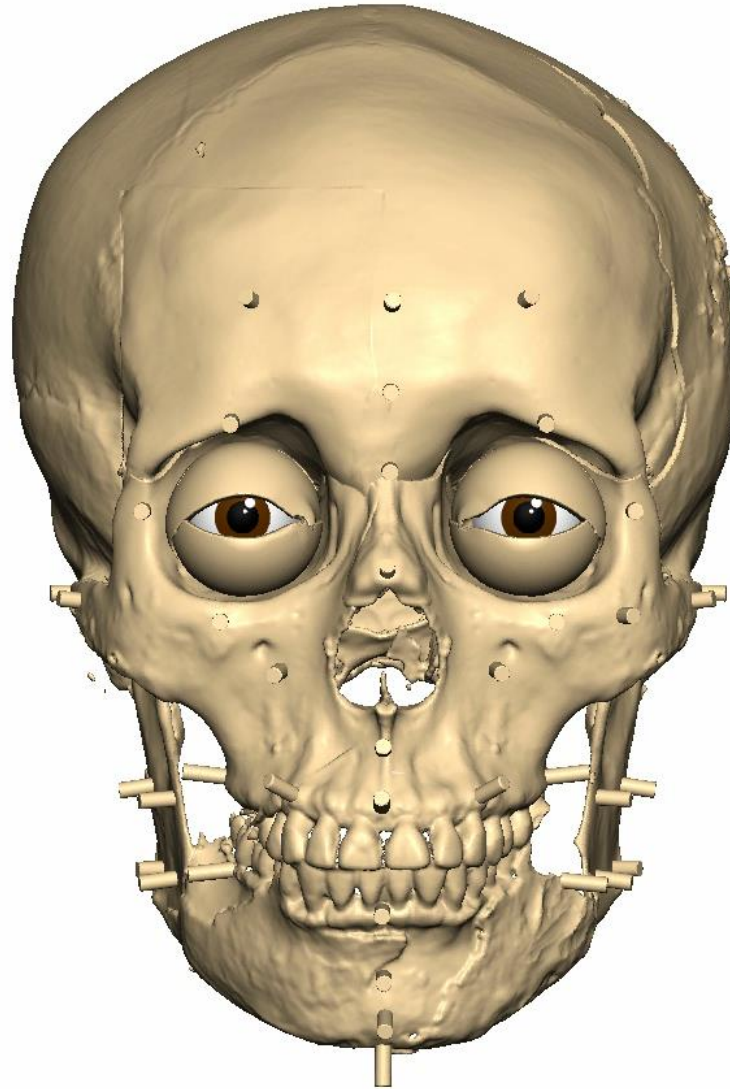


Fig. 6.7 Normal eyeball protrusion (Wilkinson & Mautner, 2003). A = eyeball, B = tangent from mid-supraorbital to mid-infraorbital points.

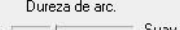


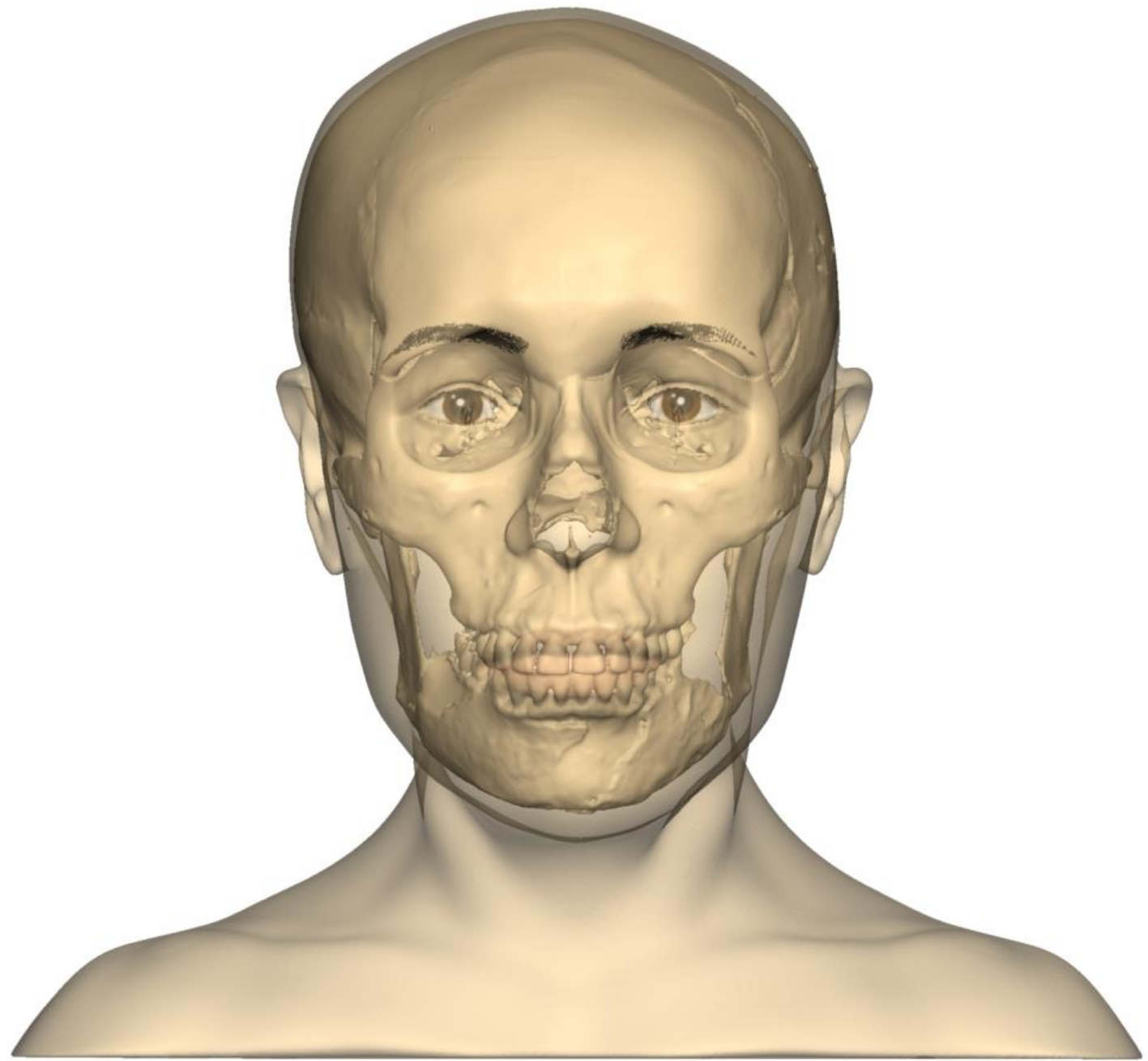


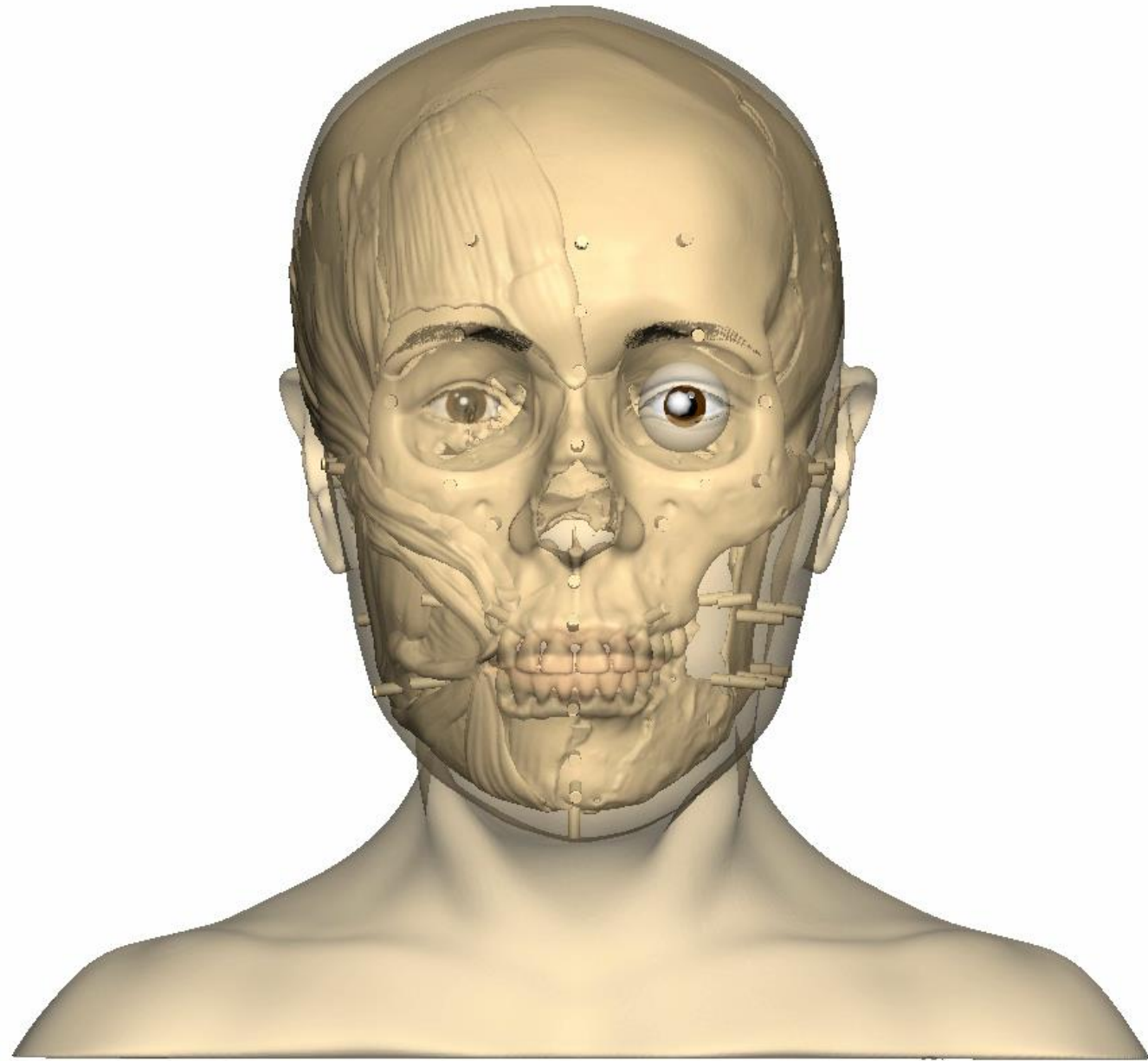
Lista de objetos

- Craneo dama de Cao 28.1
 - Craneo con mandibula 1.4
 - Craneo antes offset (0.2000 mm)
 - Anterior-Craneo antes offset Mirror
 - Craneo completo (0.2000 mm)**
 - Parpado inf der (0.1250 mm)
 - Front Plano 2
 - Globo ocular der 2 (0.1200 mm)
 - Globo ocular der 4 (0.1200 mm)
 - Parpado superior izq (0.1225 mm)
 - Parpado inf izq (0.1250 mm)
 - Parpado sup der (0.1225 mm)
 - Anterior-Piel ojo sup izq Mirror
 - Craneometricos
 - Oreja 1 (0.6007 mm)
 - Oreja 2 (0.6007 mm)
 - Guia Meato (2.0000 mm)
 - Musculos 2
 - Masetero Der (0.4844 mm)
 - Depresor Anguli Oris (0.4844 mm)
 - Depresor Labio Inf (0.4844 mm)**
 - Mentalis (0.4844 mm)
 - Bucinador (0.4844 mm)
 - Zigomatico Mayor (0.4844 mm)
 - Pieza 12 (0.4844 mm)
 - Frontalis (0.4844 mm)
 - Frontalis (0.4844 mm)
 - Temporal Der (0.4844 mm)
 - Temporal Izq (0.4844 mm)
 - Masetero Der 1 (0.4844 mm)
 - Bucinador 1 (0.4844 mm)
 - Mentalis 2 (0.4844 mm)
 - Depresor Labio Inf 1 (0.4844 mm)
 - Depresor Anguli Oris 2 (0.4844 mm)
 - Pieza 16 (0.4844 mm)
 - Pieza 2 (0.4844 mm)
 - Pieza 9 (0.4844 mm)
 - Zigomatico Mayor 1 (0.4844 mm)

abc 

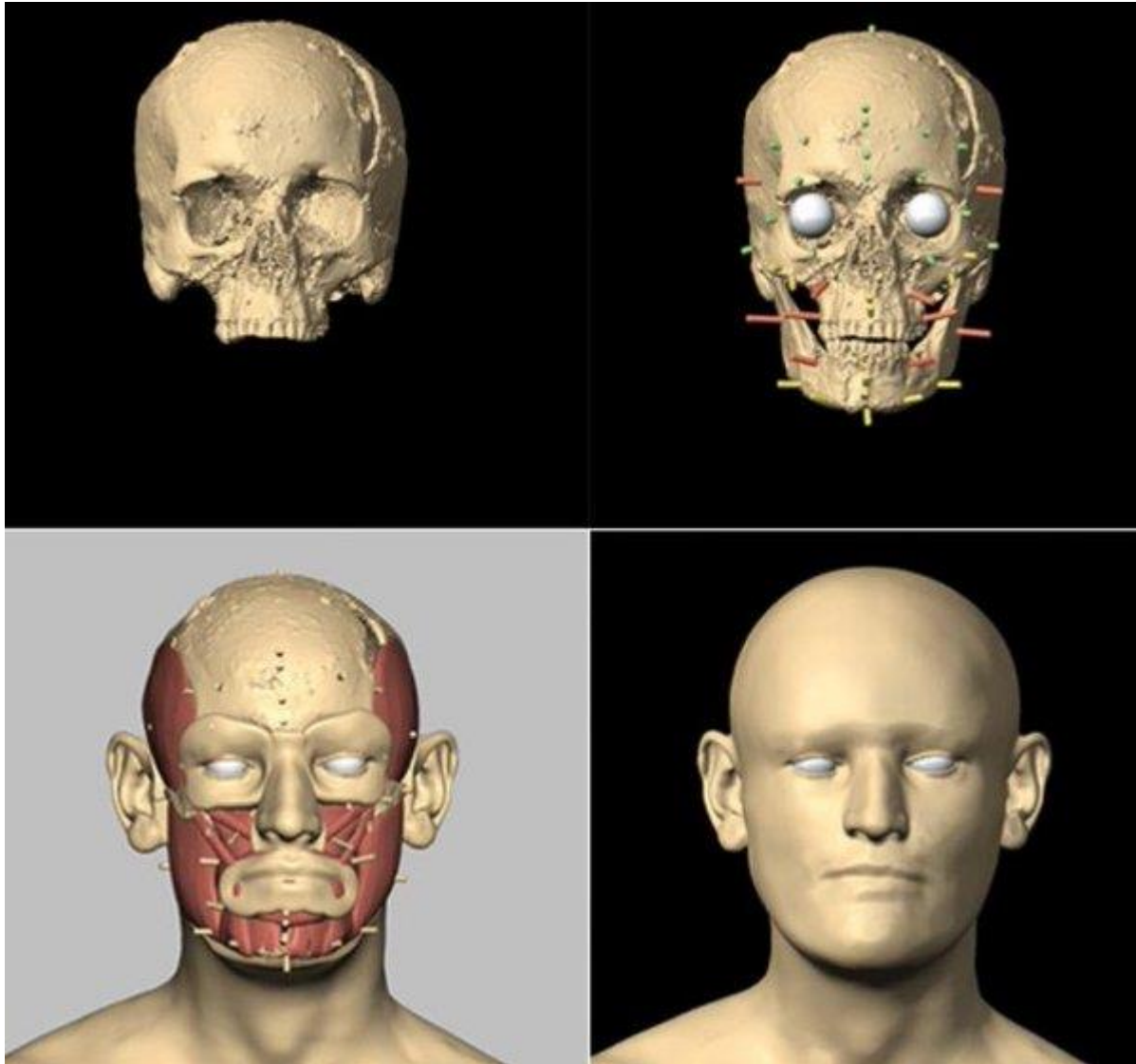
Dureza de arc.  Suav.  Utilizar regla  2.0000 mm 







RECONSTRUCCIONES REALIZADAS EN OTROS PAISES

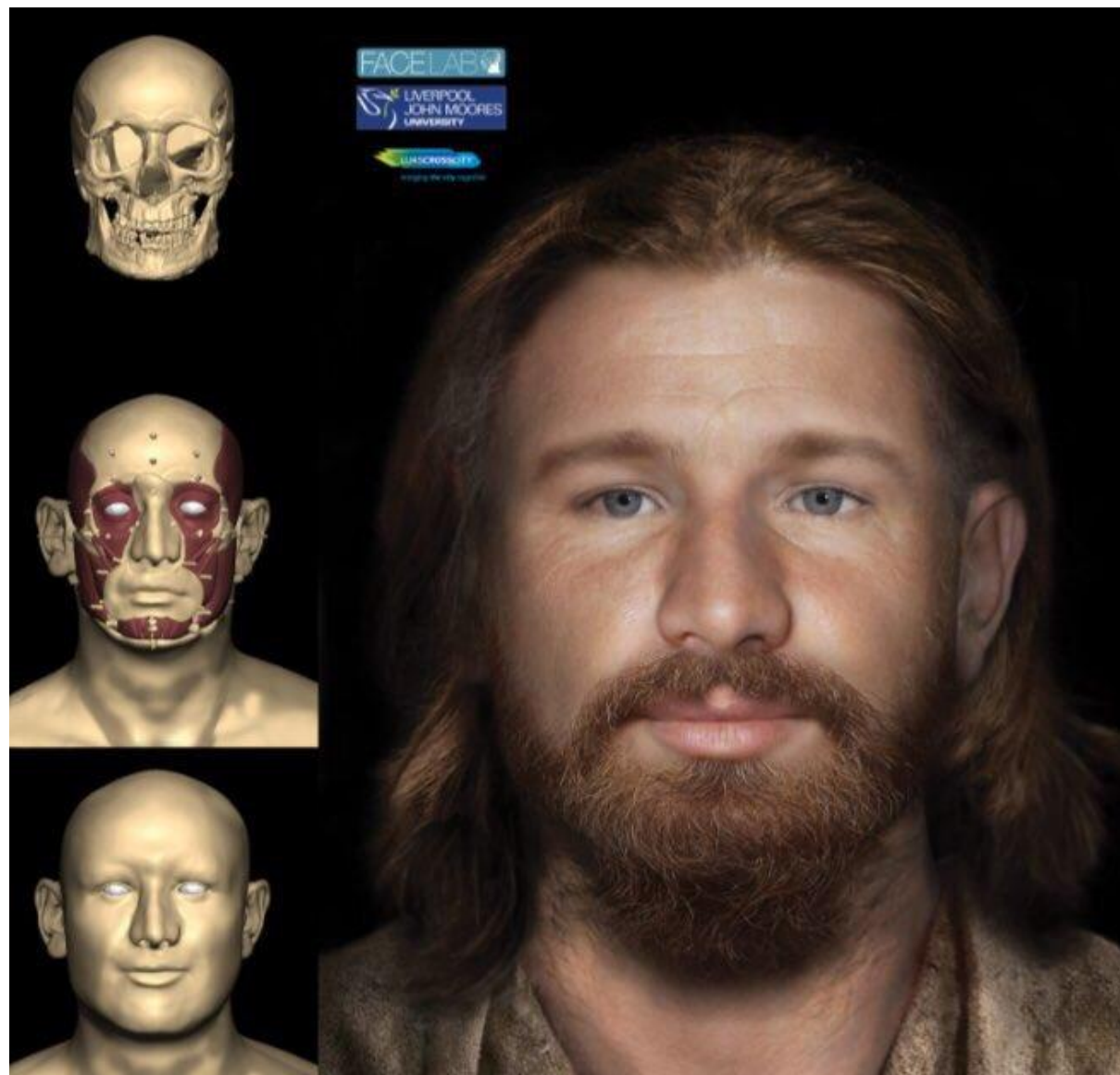


Ricardo III rey de Inglaterra en 1483

Realizada por Caroline Wilkinson del Reino Unido en 2013

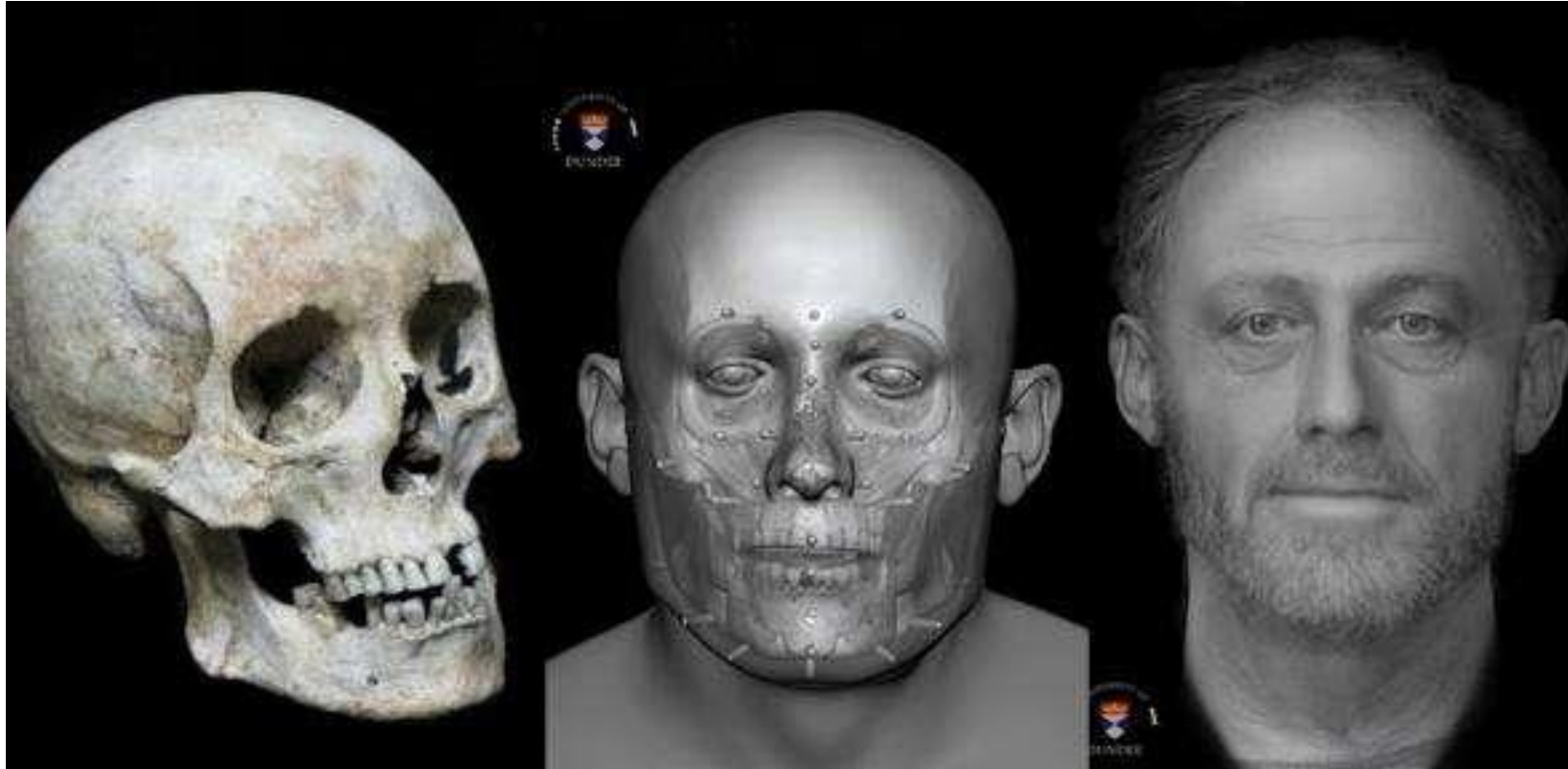


Tudor Dubliner - Irlanda, 1485 -1603
Realizada por Caroline Wilkinson del Reino Unido en 2017





Robert the Bruce, Rey de Escocia 1306 – 1329



**Facial reconstruction of Context 958.
Credit: Dr. Chris Rynn, University of Dundee**

El Señor de Sipán

Walter Alva, diseñador Cícero Moraes y el odontólogo forense Paulo Miamoto,



